

СИНТЕЗ И СВОЙСТВА  
НЕОРГАНИЧЕСКИХ СОЕДИНЕНИЙ

УДК 546.654

ГИДРОТЕРМАЛЬНЫЙ СИНТЕЗ СУЛЬФИДА СЕРЕБРА

© 2023 г. С. И. Садовников\*

Институт химии твердого тела УрО РАН, ул. Первомайская, 91, Екатеринбург, 620990 Россия

\*e-mail: sadovnikov@ihim.uran.ru

Поступила в редакцию 21.11.2022 г.

После доработки 28.12.2022 г.

Принята к публикации 09.01.2023 г.

Гидротермальным методом при температуре от 373 до 453 К в водных и спиртовых растворах нитрата серебра, сульфида и цитрата натрия, серы и тиокарбамида синтезированы порошки сульфида серебра с субмикро- и микрометровым размером частиц. Кристаллическая структура синтезированных порошков, морфология, состав и размер частиц сульфида серебра проанализированы методами рентгеновской дифракции, сканирующей электронной микроскопии, энергодисперсионного рентгеновского анализа и газовой адсорбции. Частицы порошков имеют сходную морфологию в виде прямоугольных параллелепипедов и кубов со слаженными ребрами, размер частиц порошков зависит от условий синтеза и составляет от ~500 до 2000 нм.

**Ключевые слова:** сульфид серебра, гидротермальный синтез, размер и морфология частиц, EDX-анализ

**DOI:** 10.31857/S0044457X22602000, **EDN:** SNAAWI

ВВЕДЕНИЕ

В последние годы большое внимание уделяется получению сульфида серебра как перспективного полупроводникового материала. Большие усилия направлены на разработку методов синтезаnanoструктурированного сульфида серебра в виде нанокристаллических порошков, тонких пленок, коллоидных растворов [1]. Основным методом синтеза разных форм nanoструктурированного сульфида серебра является осаждение из водных растворов, хотя этот метод при достаточно больших концентрациях исходных реагентов позволяет получать и крупнокристаллические порошки  $\text{Ag}_2\text{S}$  [1]. Принципиальным отличием гидротермального синтеза от других методов является возможность получения как нанокристаллических, так и крупнокристаллических сульфидов с разной регулируемой морфологией частиц.

В последнее пятилетие в литературе опубликованы десятки работ по гидротермальному синтезу nano- и крупнокристаллических частиц сульфида серебра с различной морфологией, а также работ по синтезу композитов на основе сульфида серебра [2–8]. Гидротермальный метод является одним из наиболее перспективных методов синтеза порошков с контролируемыми размерами и морфологией. Важным преимуществом гидротермального синтеза является ускоренное взаимодействие между твердыми и жидкими частицами, а также образование чистых и однородных одно-

фазных сульфидных материалов. Благодаря использованию повышенных температур и давления достигается ускоренная кинетика реакций сульфидообразования. Это особенно важно для сульфида серебра, который обладает фазовыми превращениями в достаточно узком температурном интервале. Согласно [4, 5], гидротермальный синтез композитных сульфидных наночастиц с контролируемым размером и морфологией обеспечивает получение сульфидных  $\text{Ag}/\text{Au}/\text{Si}$ -материалов, обладающих стабильными и регулируемыми флуоресцентными эмиссионными свойствами с желто-зеленым свечением в области 400–580 нм. Покрытые кремнеземом нанокластеры серебра  $\text{SiO}_2@\text{AgNCs}$  были созданы для флуоресцентного обнаружения ионов  $\text{S}^{2-}$  [9].

В результате исследований, проведенных в работах [10, 11], были успешно получены многоугольные частицы, включая гранецентрированные кубические сульфидные кристаллы. В частности, в работе [11] термическим разложением металлоорганического прекурсора  $\text{Ag}[\text{S}_2\text{P}(\text{OR})_2]$  ( $\text{R} = \text{C}_n\text{H}_{2n+1}$ ) получены кристаллы  $\text{Ag}_2\text{S}$ . Гидротермальный метод [11] был усовершенствован в работе [12] путем изменения соотношения концентраций  $\text{AgNO}_3$  и  $(\text{NH}_2)_2\text{CS}$  в водных растворах и добавления бромида цетилtrimетиламмония  $\text{C}_{19}\text{H}_{42}\text{BrN}$ . Согласно [12], совместное действие бромида цетилtrimетиламмония и тиокарбамида  $(\text{NH}_2)_2\text{CS}$  отвечает за формирование специфиче-

ской морфологии получаемых кристаллов  $\text{Ag}_2\text{S}$  – от сферической до кубической. Большинство частиц  $\text{Ag}_2\text{S}$ , полученных в работе [12], выглядело шестиугольными.

Авторы работы [13] получили листовидные нанопластины  $\text{Ag}_2\text{S}$  гидротермальным методом в смеси спиртового раствора  $\text{CS}_2$  с водным раствором  $\text{AgNO}_3$  и  $\text{NH}_3$ . Сероуглерод  $\text{CS}_2$  был использован как источник серы.

Монодисперсные наночастицы  $\text{Ag}_2\text{S}$  с контролируемым размером были успешно синтезированы с помощью такого варианта гидротермального синтеза как термолиз ксантатов серебра, служащих источником серебра и серы [14]. В работе [14] термолиз проводили без использования поверхностно-активных веществ и растворителей.

В работе [15] частицы  $\text{Ag}_2\text{S}$  в форме зерен риса были получены реакцией между  $\text{Ag}(\text{NH}_3)_2^+$  и  $\text{Na}_2\text{S}$  в присутствии поливинилпирролидона с помощью гидротермального метода. Смесь растворов подвергали термообработке при температуре 433 К в течение 10 ч. Согласно [15], образование рисообразных частиц  $\text{Ag}_2\text{S}$  зависит в основном от типа источника серебра, влияния пирролидоновых колец, продолжительности реакции и температуры.

Крупные частицы  $\text{Ag}_2\text{S}$  в форме зерен риса были также синтезированы гидротермальным химическим осаждением из водной реакционной смеси нитрата серебра, сульфида натрия и цитрата натрия с концентрацией 0.05, 0.4 и 0.005 моль/л соответственно [16]. Реакционную смесь нагревали в закрытом сосуде при температуре 373 К под давлением  $\sim 2 \times 10^5$  Па в течение 2 ч. Синтезированный порошок  $\text{Ag}_2\text{S}$  содержал отдельные рисообразные частицы длиной  $\sim 2000$  нм и шириной  $\sim 400$  нм.

Крупнокристаллический порошок  $\text{Ag}_2\text{S}$  получен гидротермальным синтезом в закрытом сосуде при 453 К в течение 4 ч из водного раствора  $\text{AgNO}_3$  и тиокарбамида  $(\text{NH}_2)_2\text{CS}$  как источника серы. Давление насыщенного пара над раствором достигало  $\sim 1 \times 10^6$  Па [17].

В последнее время гидротермальный синтез применяется для получения композитных материалов на основе сульфида серебра. Например, в работе [18] композитные наночастицы  $\text{AgBiS}_2$  на основе сульфида серебра были приготовлены гидротермальным методом при температуре 473 К в течение 12, 48 и 72 ч. Для синтеза использовали водный раствор  $\text{AgNO}_3$  и  $\text{Bi}(\text{NO}_3)_3$  и L-цистеин  $\text{C}_3\text{H}_7\text{NO}_2\text{S}$  как источник ионов серы.

Жидкофазный синтез частиц сульфида серебра в диапазоне размеров от 40–50 до  $\sim 1000$  и более нм осуществлен в работе [19] путем изменения соотношения между концентрациями нитрата серебра, сульфида натрия и цитрата натрия.

В работе [20] наноструктуры  $\text{Ag}_2\text{S}$  были синтезированы в таких растворителях, как олеиламин  $\text{C}_{18}\text{H}_{35}\text{NH}_2$  и смесь октадецена  $\text{C}_{18}\text{H}_{36}$  и додекантиола  $\text{CH}_3(\text{CH}_2)_{11}\text{SH}$  с использованием диэтилдитиолкарбамата серебра  $(\text{C}_2\text{H}_5)_2\text{NCS}_2\text{Ag}$  как источника ионов серебра с помощью термического разложения реакционной смеси при температуре от 398 до 498 К при пропускании азота через смесь в течение 1 ч. Гидротермальный метод в совокупности с капиллярным эффектом был использован для получения сэндвичевой структуры  $\text{Ag}_2\text{S}/\text{Fe}_3\text{O}_4/\text{AgVO}_3@\text{графен}$ , предназначенный для фотокатализа [21]. Благодаря примененному гидротермальному синтезу, в этой композитной структуре слой сульфида серебра, закрепленный на внешней стенке графенового слоя, обеспечивает ее высокую фотокаталитическую активность. В работе [22] гидротермальный метод был использован при синтезе наночастиц сульфида серебра из водных растворов нитрата серебра  $\text{AgNO}_3$  и сульфида натрия  $\text{Na}_2\text{S}$ , взятых в соотношении 2 : 1. Реакционную смесь нагревали до 408 К в течение 24 ч.

Гидротермальный и сольвотермальный синтез являются самыми многообещающими методами получения сульфида серебра в виде достаточно больших объектов с различной морфологией (листовидные нанопластины, пластинчатые или звездообразные кристаллиты, ограненные кристаллы, тетраэдрические и гексагональные частицы, пустотелые частицы и т.д.). Такие объекты имеют размер от сотен нанометров до десятков микрометров.

В настоящей работе изучен гидротермальный синтез крупнокристаллических порошков сульфида серебра с использованием реакционных смесей из нитрата серебра как источника ионов серебра и сульфида натрия, элементарной серы или тиокарбамида как источников ионов серы. Полученный гидротермальным синтезом сульфид серебра может быть использован для повышения фотокаталитического выделения водорода из водных растворов  $\text{Na}_2\text{S}/\text{Na}_2\text{SO}_3$  [23].

## ЭКСПЕРИМЕНТАЛЬНАЯ ЧАСТЬ

Гидротермальный синтез сульфида серебра проводили в водных или спиртовых реакционных смесях. В спиртовых смесях в качестве растворителя использовали этиленгликоль  $\text{C}_2\text{H}_6\text{O}_2$ , во всех случаях в качестве источника ионов серебра – нитрат серебра  $\text{AgNO}_3$ . Источником ионов серы  $\text{S}^{2-}$  служили сульфид натрия  $\text{Na}_2\text{S}$ , элементарная сера  $\text{S}$  или тиокарбамид  $(\text{NH}_2)_2\text{CS}$ , выполняющий также роль комплексообразователя. При синтезе в водном растворе применяли цитрат натрия  $\text{Na}_3\text{C}_6\text{H}_5\text{O}_7$  ( $\text{Na}_3\text{Cit}$ ) в качестве стабилизатора.

**Таблица 1.** Состав реакционных смесей, температура ( $T$ ) и длительность ( $\tau$ ) гидротермального синтеза сульфида серебра, удельная поверхность ( $S_{sp}$ ) и средний размер частиц ( $D_{БЭТ}$  и  $D_{СЭМ}$ ) синтезированных порошков

№ порошка	Раство- ритель	Концентрация реагентов в реакционной смеси, ммоль/л					Условия синтеза		$S_{sp}$ ( $m^2/g$ )	Размер $D$ частиц, нм	
		$AgNO_3$	$Na_2S$	$Na_3Cit$	S	$(NH_2)_2CS$	$T, K$	$\tau, ч$			
1	Вода	0.05	0.4	0.005	—	—	373	2	0.9305	890	1000
2*	ЭГ ***	0.05	—	—	0.05	—	423	4	0.5835	1420	1200–1500
3**	ЭГ	0.05	—	—	0.05	—	423	16	1.6274	510	600–900
4	Вода	0.05	—	—	0.05	—	453	4	1.0272	810	1000–2000
5	Вода	0.05	—	—	—	0.05	453	4	0.4501	1840	1500–1700

\*Двухфазный порошок наряду с  $\alpha$ - $Ag_2S$  содержит 8 вес. % металлического серебра.

\*\*Двухфазный порошок наряду с  $\alpha$ - $Ag_2S$  содержит 9 вес. % металлического серебра.

\*\*\*ЭГ – этиленгликоль  $C_2H_6O_2$ .

ра. Состав реакционных смесей приведены в табл. 1.

Для того, чтобы реакция сульфидообразования в спиртовом растворе не протекала при нормальных условиях, а начиналась только в автоклаве, в качестве источника ионов серы  $S^{2-}$  была выбрана элементарная сера S. В спиртовых растворах для снижения температуры сульфидообразования в качестве среды синтеза использовали этиленгликоль  $C_2H_6O_2$ .

Сливание и последующее перемешивание исходных реагентов проводили с помощью магнитной мешалки ЭКРОС-6100 в течение 1 ч в темноте при красном освещении. Подготовленную реакционную смесь переливали в вакуум-плотный тefлоновый стакан объемом 50 мл, в котором непосредственно проводили гидротермальный синтез. Для этого закрытый тefлоновый стакан с реакционной смесью помещали в специально изготовленный по размерам тefлонового стакана толстостенный стальной реактор с закручивающейся стальной крышкой. Такая закрытая система исключала контакт с внешней средой и возможное испарение раствора, обеспечивала полное сохранение реакционного раствора во время гидротермального синтеза. Стальной реактор с тefлоновым стаканом, заполненным реакционной смесью, в течение 1 ч нагревали до требуемой температуры синтеза и затем выдерживали при температуре от 373 до 453 К на протяжении 2, 4 или 16 ч (табл. 1).

Все полученные порошки изучали методом рентгеновской дифракции на дифрактометре STADI-P (STOE, Germany) в  $CuK_{\alpha 1}$ -излучении. Рентгеновские измерения проводили в интервале углов  $2\theta = 20^\circ$ – $95^\circ$  с шагом  $\Delta(2\theta) = 0.02^\circ$ . Время сканирования при рентгеновских измерениях подбиралось индивидуально для каждого синтезированного порошка и составляло 50 с в точке

для порошка 1, 20 с для порошков 2, 3 и 4 и 15 с для порошка 5. Качественный и количественный фазовый состав порошков оценивали с помощью программного пакета Match! Version 1.10 [24]. Определение параметров кристаллической решетки и окончательное уточнение структуры синтезированных порошков сульфида серебра проводили с помощью программного пакета X'Pert HighScore Plus [25].

Удельную поверхность порошков  $S_{sp}$  определяли газово-адсорбционным методом Брунауэра–Эммета–Теллера (БЭТ) [26] с помощью анализатора площади поверхности Gemini VII 2390 V1.03 (V1.03.t) и по ней оценивали средний размер  $D$  неагломерированных частиц осажденных порошков. В приближении одинакового размера и шарообразной формы всех частиц средний размер частиц  $D = 6/\rho S_{sp}$  ( $\rho = 7.25 \text{ г}/\text{см}^3$  – плотность сульфида серебра). Такая оценка дает размер частиц, усредненный по объему (табл. 1).

Микроструктуру, размер частиц и элементный химический состав порошков  $Ag_2S$  изучали методом сканирующей электронной микроскопии (СЭМ) на микроскопе JEOL-JSM LA 6390 с анализатором JED 2300 Energy Dispersive X-ray Analyzer.

Температуру и энталпию фазового перехода акантит–аргентит определяли методом ДТА–ДТГ на термоанализаторе Setaram SETSYS Evolution 1750. Измерения проводили в потоке аргона Ar 20 мл/мин в области температур 293–493 К со скоростью нагрева 5 К/мин.

## РЕЗУЛЬТАТЫ И ОБСУЖДЕНИЕ

Рентгенограммы порошков сульфида серебра, полученных гидротермальным синтезом, показаны на рис. 1. Количественное уточнение дифракционных результатов и сравнение с данными [16]

показали, что порошки **1**, **4** и **5**, синтезированные в водных растворах, содержат только моноклинный (пр. гр.  $P2_1/c$ ) сульфид серебра со структурой акантита  $\alpha\text{-Ag}_2\text{S}$ . Кристаллическая решетка моноклинного сульфида серебра имеет следующие параметры:  $a = 0.4224\text{--}0.4226$  нм,  $b = 0.6922\text{--}0.6928$  нм,  $c = 0.9524\text{--}0.9532$  нм,  $\beta = 125.54^\circ\text{--}125.57^\circ$ .

Порошки **2** и **3** являются двухфазными и наряду с моноклинным сульфидом серебра содержат кубическое (пр. гр.  $Fm\bar{3}m$ ) металлическое серебро Ag в количестве 8 и 9 вес. % соответственно. Серебро имеет период кристаллической решетки  $a = 0.4085\text{--}0.4086$  нм. Порошки **2** и **3** синтезировали в спиртовом растворе этиленгликоля  $\text{C}_2\text{H}_6\text{O}_2$  с использованием элементарной серы как источника ионов  $\text{S}^{2-}$ . По-видимому, температура синтеза этих порошков ( $150^\circ\text{C}$ ) была недостаточна для полного протекания реакции сульфиообразования.

Отсутствие уширения дифракционных отражений порошков **1**–**5** свидетельствует о крупном (субмикро- или микрометровом) размере частиц порошков. Крупный размер частиц синтезированных порошков подтверждают данные электронной микроскопии и метода БЭТ.

На рис. 2 и 3 показаны СЭМ-изображения синтезированных порошков **1** и **3** сульфида серебра и их элементный EDX-анализ. По электронно-микроскопическим данным, размер частиц порошка **1** сульфида серебра составляет  $\sim 1000$  нм (рис. 2). Согласно результатам энергодисперсионного рентгеновского анализа EDX, сделанного в точке на частице порошка **1**, синтезированный образец помимо S (25.05 ат. %) и Ag (46.57 ат. %) содержит также Na (10.24 ат. %), углерод C и кислород O (рис. 2б), т. е. элементы, входящие в состав сульфида натрия  $\text{Na}_2\text{S}$  и цитрата натрия  $\text{Na}_3\text{C}_6\text{H}_5\text{O}_7$ , использованные при синтезе порошка **1** (табл. 1). Избыточное относительное содержание серы по сравнению со стехиометрическим сульфидом серебра и наличие натрия обусловлены синтезом порошка **1** из реакционной смеси с переизбытком  $\text{Na}_2\text{S}$ . Присутствие C и O связано с образованием на поверхности частиц  $\text{Ag}_2\text{S}$  тонкого слоя из цитрата натрия, что было обнаружено ранее в работе [27].

Размер частиц сульфида серебра в порошке **3**, по данным СЭМ, составляет 600–900 нм (рис. 3а). Согласно EDX-анализу, частицы содержат только серебро (70.18 ат. %) и серу (29.82 ат. %) (рис. 3б). По рентгеновским данным, этот порошок содержит  $\sim 91$  вес. %  $\text{Ag}_2\text{S}$  и  $\sim 9$  вес. % металлического Ag. Именно наличием в порошке **3** металлического серебра обусловлено повышенное общее содержание серебра по данным EDX. По-видимому, синтез этого порошка при температуре 423 К

не обеспечил полное протекание сульфиообразования.

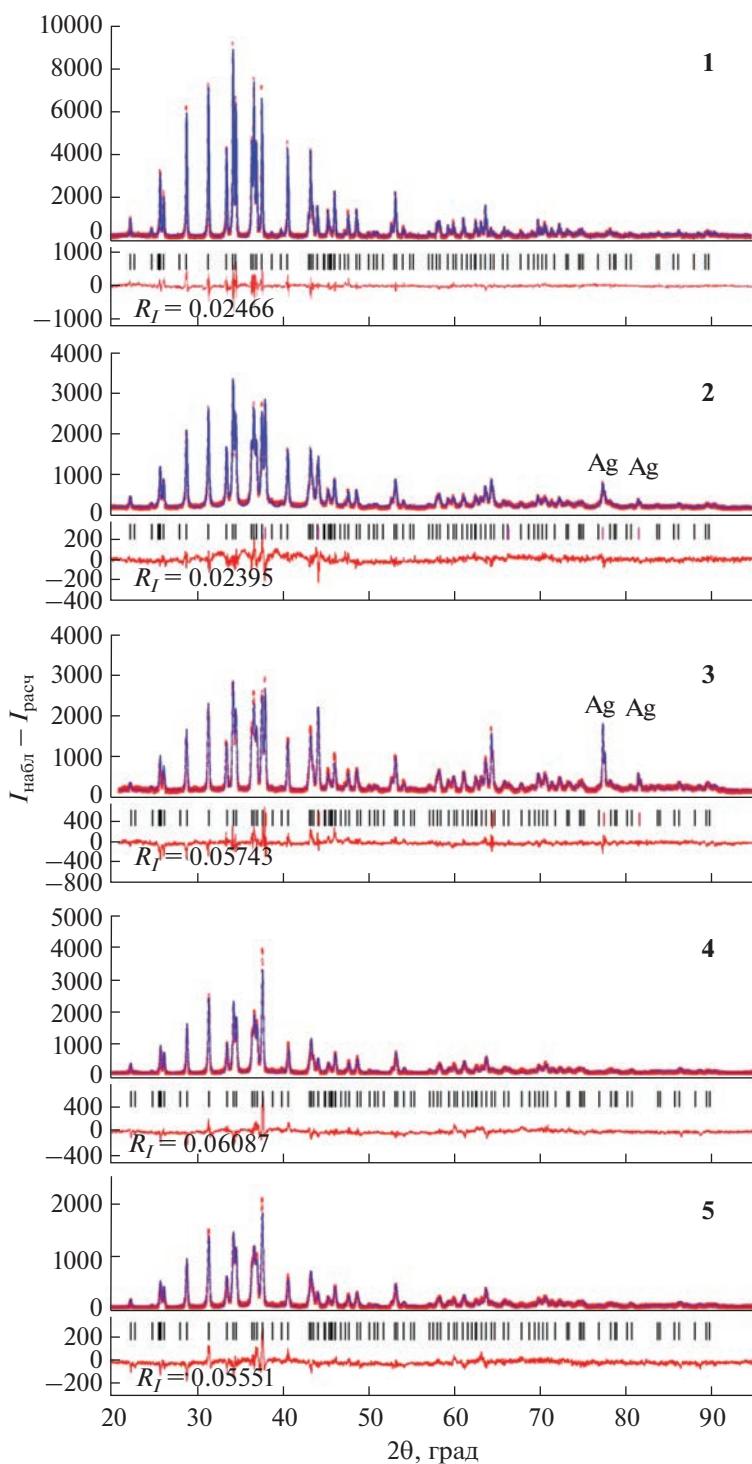
По данным СЭМ, частицы всех синтезированных порошков имеют сходную морфологию в виде прямоугольных параллелепипедов и кубов со склоненными ребрами, но отличаются по размеру.

Размер  $D_{\text{БЭТ}}$  частиц порошков, усредненный по их объему, оценивали по величине удельной поверхности  $S_{\text{sp}}$ , измеренной методом БЭТ. На рис. 4 показаны изотермы адсорбции  $1/\{Q[(P_0/P) - 1]\}$  азота при 77 К порошками **1**–**5** сульфида серебра, полученными гидротермальным синтезом из разных реакционных смесей ( $P/P_0$  – относительное давление азота). Удельная поверхность  $S_{\text{sp}}$  пропорциональна количеству  $Q$  адсорбированного азота [26], а абсолютная величина наклона изотерм адсорбции в первом приближении обратно пропорциональна величине удельной поверхности  $S_{\text{sp}}$ . Величины удельной поверхности  $S_{\text{sp}}$  и среднего размера  $D_{\text{БЭТ}}$  частиц порошков **1**–**5** приведены в табл. 1.

Результаты определения среднего размера частиц синтезированных порошков, найденные по данным СЭМ и БЭТ, удовлетворительно согласуются между собой (табл. 1).

По данным EDX-анализа, порошок **4** содержит только серебро и серу в количестве 31.18 и 68.82 ат. %. Дифференциальная сканирующая калориметрия порошка **4** сульфида серебра, совмещенная с термогравиметрическим измерением, обнаружила, что при нагреве порошка **4** до  $\sim 350$  К наблюдается небольшая потеря массы  $\Delta m \sim 0.07\%$  (рис. 5). Это обусловлено испарением незначительного количества влаги, адсорбированной поверхностью порошка, которая сохраняется после обычного просушивания. Абсолютная величина изменения массы синтезированного крупнокристаллического порошка сульфида серебра пренебрежимо мала ( $\sim 0.03$  мг) и находится в пределах ошибки измерений.

Проведенные исследования порошка **4** сульфида серебра в атмосфере синтетического воздуха на масс-спектрометре, связанном с термоанализатором STA 449 C, показали, что в области температур 350–400 К на температурных зависимостях ионного тока  $I_{\text{ion}}$  наблюдаются пики для массовых чисел 64 и 48, соответствующих  $\text{SO}_2$  [18, 29]. По-видимому, наблюдалась в этой температурной области слабая потеря массы ( $\sim 0.07\%$ ) связана также с выделением серы в виде газообразного  $\text{SO}_2$ . Выделение серы из  $\text{Ag}_2\text{S}$  приводит к высвобождению малого количества серебра из поверхностного слоя сульфида серебра. Поэтому при последующем нагреве порошка **4** до  $\sim 490$  К (рис. 5) наблюдается слабое увеличение массы на  $\sim 0.1\%$  в результате окисления этого серебра адсорбированной остаточной примесной влагой.



**Рис. 1.** Экспериментальные (красный цвет) и расчетные (серые линии) рентгенограммы синтезированных порошков 1–5 сульфида серебра. В нижней части рисунков показаны разности ( $I_{\text{набл}} - I_{\text{расч}}$ ) между экспериментальной и расчетной рентгенограммами. Порошки 1, 4 и 5 содержат только моноклинный (пр. гр.  $P2_1/c$ ) сульфид серебра со структурой акантита  $\alpha\text{-Ag}_2\text{S}$ , порошки 2 и 3 наряду с сульфидом серебра содержат кубическое (пр. гр.  $Fm\bar{3}m$ ) серебро в количестве 8 и 9 вес. % соответственно. Длинные и короткие штрихи на рентгенограммах соответствуют отражениям моноклинного сульфида серебра  $\text{Ag}_2\text{S}$  и кубического металлического Ag соответственно. Нумерация указана в соответствии с табл. 1.

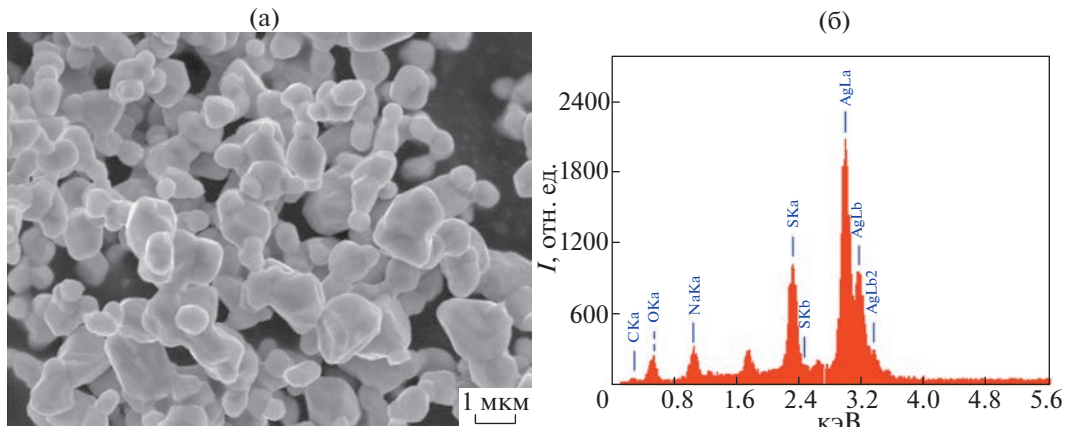


Рис. 2. СЭМ-изображение порошка 1 сульфида серебра (а) и данные EDX-анализа (б).

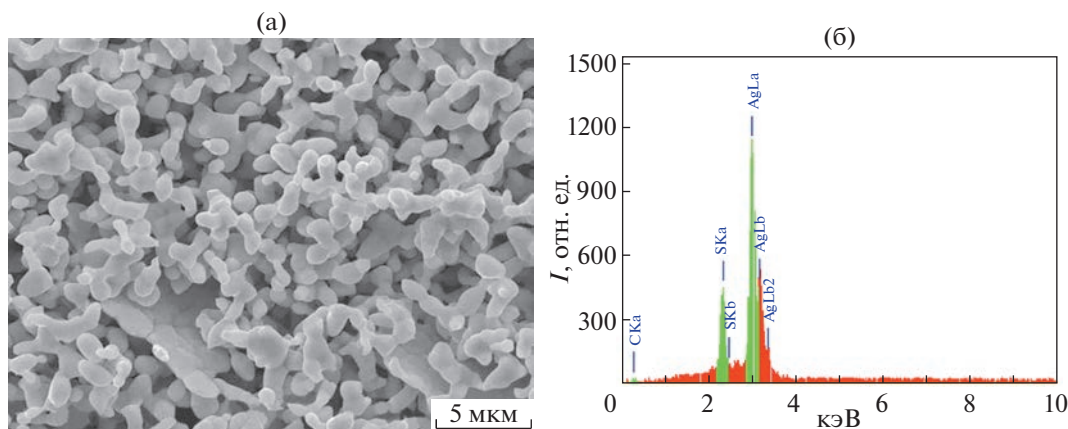


Рис. 3. СЭМ-изображение порошка 3 сульфида серебра (а) и данные EDX-анализа (б).

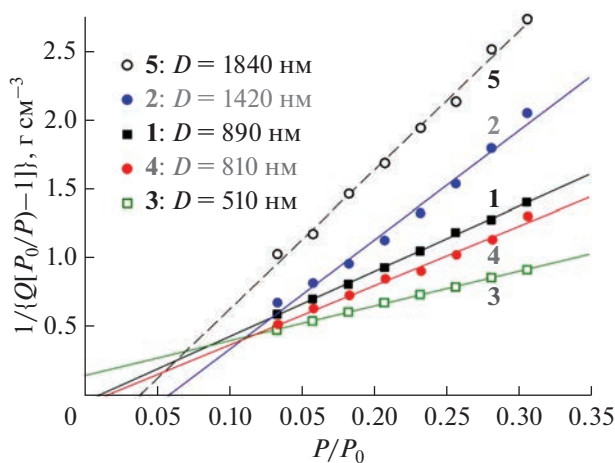
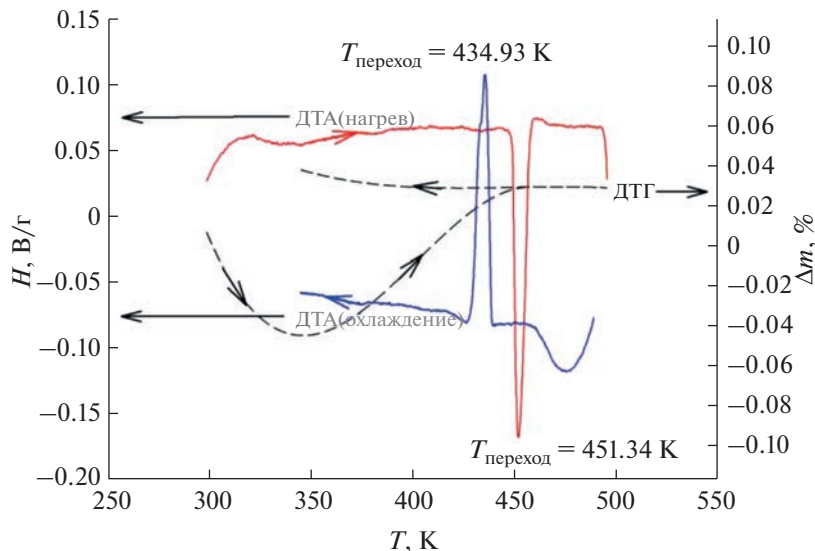


Рис. 4. Изотермы адсорбции ( $T = 77$  К) молекулярного азота  $N_2$  поверхностью порошков 1–5 сульфида серебра, синтезированных гидротермальным методом из реакционных смесей 1–5. Нумерация указана в соответствии с табл. 1.

Для уточнения температуры фазового превращения акантит–аргентит порошки сульфида серебра исследовали методом ДТА–ДТГ как при нагреве, так и при охлаждении (рис. 5). При нагреве на кривых ДТА наблюдается один эндотермический пик при температуре  $\sim 451.3$  К, соответствующий фазовому переходу  $\alpha$ -Ag<sub>2</sub>S (акантит)– $\beta$ -Ag<sub>2</sub>S (аргентит). При охлаждении от 495 К до комнатной температуры на зависимостях ДТА наблюдается экзотермический пик при температуре  $\sim 434.9$  К, соответствующий фазовому переходу аргентита в акантит и смещенный в область пониженных температур на  $\sim 16$  К. Наличие температурного гистерезиса  $T_{trans}$  указывает на первый род обратимого превращения акантит–аргентит. Найденная энтальпия фазового превращения составляет  $\sim 3.8$ – $3.9$  кДж/моль, что близко к величине  $\Delta H_{trans} = 4.0 \pm 0.5$  кДж/моль, определенной на крупнокристаллическом сульфиде серебра в работах [30–33]. Сходные результаты были получены при измерениях ДТА–ДТГ других синтезированных порошков сульфида серебра.



**Рис. 5.** Зависимости ДТА-ДТГ, измеренные при нагреве и охлаждении синтезированного порошка **4** сульфида серебра. Направления изменения температуры при измерениях ДТА-ДТГ показаны стрелками.

## ЗАКЛЮЧЕНИЕ

Крупнокристаллические порошки сульфида серебра  $\text{Ag}_2\text{S}$  разного размера синтезированы гидротермальным методом из водных растворов нитрата серебра  $\text{AgNO}_3$ , сульфида натрия  $\text{Na}_2\text{S}$  и цитрата натрия  $\text{Na}_3\text{C}_6\text{H}_5\text{O}_7$  или  $\text{AgNO}_3$  и элементарной серы S или тиокарбамида как источников ионов  $\text{S}^{2-}$ . Порошки сульфида серебра получены гидротермальным методом также в спиртовых растворах  $\text{AgNO}_3$  и элементарной серы с использованием этиленгликоля как растворителя.

Порошки сульфида серебра, синтезированные в водных растворах, содержат только моноклинный (пр. гр.  $P2_1/c$ ) акантит  $\alpha\text{-Ag}_2\text{S}$ . Порошки, синтезированные в среде этиленгликоля как растворителя, наряду с моноклинным (пр. гр.  $P2_1/c$ ) акантитом  $\alpha\text{-Ag}_2\text{S}$  содержат примесную фазу металлического серебра.

Частицы всех полученных порошков имеют сходную морфологию в виде прямоугольных параллелепипедов и кубов со слаженными ребрами, но отличаются по размеру. Размер частиц синтезированных порошков сульфида серебра, определенный методами СЭМ и БЭТ, составляет от  $\sim 500$  до  $\sim 2000$  нм.

По данным ДТА-ДТГ, в синтезированных гидротермальным методом крупнокристаллических порошках сульфида серебра в области температур 435–451 К происходит обратимый фазовый переход акантит–аргентит.

## БЛАГОДАРНОСТЬ

Работа выполнена по государственному заданию № АААА-А19-119031890029-7 (0397-2019-0001) в Институте химии твердого тела Уральского отделения РАН.

## КОНФЛИКТ ИНТЕРЕСОВ

Автор заявляет об отсутствии конфликта интересов, требующего раскрытия в данной статье.

## СПИСОК ЛИТЕРАТУРЫ

1. Sadovnikov S.I., Gusev A.I. // J. Mater. Chem. A. 2017. V. 5. № 34. P. 17676. <https://doi.org/10.1039/C7TA04949H>
2. Wang X., Yang S., Ma S. et al. // Catal. Sci. Technol. 2016. V. 6. № 1. P. 242. <https://doi.org/10.1039/C5CY00787A>
3. Gao L., Li Z., Liu J. // RSC Adv. 2017. V. 7. № 44. P. 27515. <https://doi.org/10.1039/C7RA03955G>
4. Yang Y., Ashraf M.A., Fakhri A. et al. // Spectrochim. Acta A. 2021. V. 249. P. 119324. 7 pp. <https://doi.org/10.1016/j.saa.2020.119324>
5. Yang C., Li T., Guo Y. et al. // Spectrochim. Acta A. 2022. V. 273. P. 121048. <https://doi.org/10.1016/j.saa.2022.121048>
6. Ren Z., Shen C., Yuan K. et al. // Mater. Today Commun. 2022. V. 31. P. 103719. <https://doi.org/10.1016/j.mtcomm.2022.103719>
7. Iqbal M.W., Faisal M.M., Hassan ul H. et al. // J. Energy Stor. 2022. V. 52. Part A. P. 104847. 8 pp. <https://doi.org/10.1016/j.est.2022.104847>

8. Hassan H.U., Iqbal M.W., Afzal A.M. et al. // Intern. J. Energy Res. 2022. V. 46. № 8. P. 11346. <https://doi.org/10.1002/er.7932>
9. Li C.V., Ding S.-N. // Anal. Methods. 2015. V. 7. № 10. P. 4348. <https://doi.org/10.1039/C5AY00685F>
10. Lim W.P., Zhang Z., Low H.Y. et al. // Angew. Chem. Int. Ed. 2004. V. 43. № 42. P. 5685. <https://doi.org/10.1002/anie.200460566>
11. Wang X.B., Liu W.M., Hao J.C. et al. // Chem. Lett. 2005. V. 34. № 12. P. 1664. <https://doi.org/10.1246/cl.2005.1664>
12. Dong L.H., Chu Y., Liu Y. // J. Colloid Interface Sci. 2008. V. 317. № 2. P. 485. <https://doi.org/10.1016/j.jcis.2007.09.055>
13. Chen M.H., Gao L. // Mater. Lett. 2006. V.60. № 8. P. 1059. <https://doi.org/10.1016/j.matlet.2005.10.077>
14. Zhang C.L., Zhang S.M., Yu L.G. et al. // Mater. Lett. 2012. V. 85. P. 77. <https://doi.org/10.1016/j.matlet.2012.06.112>
15. Lv L.Y., Wang H. // Mater. Lett. 2014. V. 121. P. 105. <https://doi.org/10.1016/j.matlet.2014.01.121>
16. Sadovnikov S.I., Gusev A.I., Rempel A.A. // Superlat. Microstr. 2015. V. 83. P. 35. <https://doi.org/10.1016/j.spmi.2015.03.024>
17. Sadovnikov S.I., Gusev A.I., Chukin A.V. et al. // Phys. Chem. 2016. V. 18. № 6. P. 4617. <https://doi.org/10.1039/c5cp07224g>
18. Kaowphong S. // J. Solid State Chem. 2012. V. 189. P. 108. <https://doi.org/10.1016/j.jssc.2011.12.010>
19. Sadovnikov S.I. // Russ. J. Inorg. Chem. 2019. V. 64. № 10. P. 1309. <https://doi.org/10.1134/S0036023619100115>
20. Khaleelullah M.M.S.I., Dheivasigamani T., Natarajan P. et al. // J. Cryst. Growth. 2017. V. 468. P. 119. <https://doi.org/10.1016/j.jcrysgro.2016.10.081>
21. Chen Y., Liang Y., Li T. et al. // J. Colloid Interface Sci. 2019. V. 555. <https://doi.org/10.1016/j.jcis.2019.08.026>
22. Munaro J., Dolceta P., Nappini S. et al. // Appl. Surf. Sci. 2020. V. 514. P. 145856. 9 pp. <https://doi.org/10.1016/j.apsusc.2020.145856>
23. Sadovnikov S.I., Kozlova E.A., Gerasimov E.Yu. et al. // Int. J. Hydrogen. Energy. 2017. V. 42. № 40. P. 25258. <https://doi.org/10.1016/j.ijhydene.2017.08.145>
24. Match! Version 1.10. Phase Identification from Powder Diffraction © 2003-2010 Crystal Impact.
25. X'Pert HighScore Plus. Version 2.2e (2.2.5). PANalytical B. V. Almedo, the Netherlands.
26. Brunauer S., Emmett P.H., Teller E. // J. Am. Chem. Soc. 1938. V. 60. № 2. P. 309. <https://doi.org/10.1021/ja01269a023>
27. Sadovnikov S.I., Gusev A.I., Gerasimov E.Yu. et al. // Chem. Phys. Lett. 2015. V. 642. P. 17. <http://doi.org/https://doi.org/10.1016/j.cplett.2015.11.004>
28. Greg S.J., Sing K.S.W. Adsorption, Surface Area and Porosity. London: Acad. Press, 1982. 304 p.
29. <http://webbook.nist.gov/chemistry/>
30. Perrott C.M., Fletcher N.H. // J. Chem. Phys. 1969. V. 50. № 6. P. 2344. <https://doi.org/10.1063/1.1671386>
31. Thompson W.T., Flengas S.N. // Can. J. Chem. 1971. V. 49. № 9. P. 1550. <https://doi.org/10.1139/v71-252>
32. Okazaki H., Takano A. // Z. Naturforsch. A. 1985. V. 40. № 10. P. 986. <https://doi.org/10.1515/zna-1985-1004>
33. Grønvold F., Westrum E.F. // J. Chem. Thermodin. 1986. V. 18. № 4. P. 381. [https://doi.org/10.1016/0021-9614\(86\)90084-4](https://doi.org/10.1016/0021-9614(86)90084-4)